

การวิเคราะห์สาเหตุการบกพร่องของสายไฟฟ้าหุ้มฉนวนซึ่งในอากาศ
ในระบบจำหน่ายกรณีศึกษามลกระทบทางกลและความร้อน

นาย พรชัย ทีอุปมา

วิทยานิพนธ์นี้เป็นส่วนหนึ่งของการศึกษาตามหลักสูตรปริญญาวิศวกรรมศาสตรมหาบัณฑิต
สาขาวิชาวิศวกรรมไฟฟ้า ภาควิชาวิศวกรรมไฟฟ้า
คณะวิศวกรรมศาสตร์ จุฬาลงกรณ์มหาวิทยาลัย
ปีการศึกษา 2550
ลิขสิทธิ์ของจุฬาลงกรณ์มหาวิทยาลัย

ANALYSIS OF SPACE AERIAL CABLE FAILURE CAUSES IN DISTRIBUTION SYSTEM
CASE STUDY IN MECHANICAL AND THERMAL EFFECTS

Mr. Pornchai Teeuppama

A Thesis Submitted in Partial Fulfillment of the Requirements
for the Degree of Master of Engineering Program in Electrical Engineering

Department of Electrical Engineering

Faculty of Engineering

Chulalongkorn University

Academic Year 2007

Copyright of Chulalongkorn University

501814

หัวข้อวิทยานิพนธ์

การวิเคราะห์สาเหตุการบกพร่องของสายไฟฟ้าหุ้มฉนวนซึ่งในอากาศ
ในระบบจำหน่ายกรณีศึกษามลกระทบทางกลและความร้อน

โดย

นาย พรชัย ทีอุปมา


สาขาวิชา

วิศวกรรมไฟฟ้า

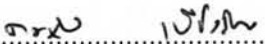
อาจารย์ที่ปรึกษา

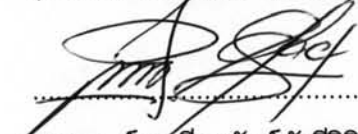
อาจารย์ ดร.วีระพันธ์ รังสีวิจิตรประภา

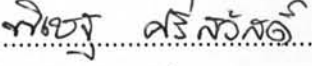
คณะวิศวกรรมศาสตร์ จุฬาลงกรณ์มหาวิทยาลัย อนุมัติให้บัณฑิตวิทยานิพนธ์ฉบับนี้เป็นส่วนหนึ่ง
ของการศึกษาตามหลักสูตรปริญญาวิทยาศาสตรบัณฑิต


.....คณบดีคณะวิศวกรรมศาสตร์
(ศาสตราจารย์ ดร.ดิเรก ลาวณิชย์ศิริ)

คณะกรรมการสอบวิทยานิพนธ์


.....ประธานกรรมการ
(อาจารย์ ดร.คมสัน เพ็ชรรักษ์)


.....อาจารย์ที่ปรึกษา
(อาจารย์ ดร.วีระพันธ์ รังสีวิจิตรประภา)


.....กรรมการ
(นายพิเชฐ ศรีสวัสดิ์)

พรชัย ทีอุปมา : การวิเคราะห์สาเหตุการบกพร่องของสายไฟฟ้าหุ้มฉนวนซึ่งในอากาศ
ในระบบจำหน่ายกรณีศึกษาผลกระทบทางกลและความร้อน.(ANALYSIS OF SPACE
AERIAL CABLE FAILURE CAUSES IN DISTRIBUTION SYSTEM CASE STUDY IN
MECHANICAL AND THERMAL EFFECTS) อ.ที่ปรึกษา : อ.ดร.วิระพันธ์ รั้งสีวิจิตรประภา,
85 หน้า.

วิทยานิพนธ์ฉบับนี้นำเสนอการวิเคราะห์และการประเมินสาเหตุการบกพร่องของ
สายไฟฟ้าหุ้มฉนวนซึ่งในอากาศ เนื่องจากผลกระทบทางกลที่เกิดจากแรงลมที่ปะทะสายร่วมกับ
น้ำหนักของสายไฟฟ้าหุ้มฉนวนซึ่งในอากาศ เนื่องจากสายหุ้มฉนวนจะมีพื้นที่ในการรับแรงลม
รวมทั้งน้ำหนักสายมากกว่าสายไฟฟ้าไม่หุ้มฉนวน ซึ่งทำให้มีความเครียดสูง เมื่อมีความร้อนใน
สายไฟฟ้าจากการจ่ายโหลด ผลกระทบร่วมระหว่างแรงทางกลและความร้อนที่มีต่อการยึดตัวของ
สายที่แตกต่างกันระหว่างอลูมิเนียมและฉนวนครอสลิงค์โพลีเอทิลีนรวมทั้งเปลือกนอก เนื่องจาก
คุณสมบัติการขยายตัวและค่าโมดูลัสยืดหยุ่น โดยแรงดึงในสายไฟฟ้าหุ้มฉนวนคำนวณจาก
น้ำหนักสาย ระยะช่วงห่างระหว่างเสา ระยะหย่อน และแรงลมที่ปะทะกับสาย และนำไปใช้เป็นค่า
ในการตรวจสอบโดยทำขึ้นตัวอย่างของฉนวนเป็นรูปดัมเบลล์ตามมาตรฐาน ICEA S - 66 - 524
เพื่อทำการตรวจสอบและวิเคราะห์ในห้องปฏิบัติการ

ภาควิชา.....วิศวกรรมไฟฟ้า.....ลายมือชื่อนิสิต.....
สาขาวิชา.....วิศวกรรมไฟฟ้า.....ลายมือชื่ออาจารย์ที่ปรึกษา.....
ปีการศึกษา.....2550.....

4770649621 : MAJOR ELECTRICAL ENGINEERING

KEY WORD: SPACE AERIAL CABLE/ MECHANICAL EFFECTS / EXPANSION COEFFICIENT

PORNCHAI TEEUPPAMA: ANALYSIS OF SPACE AERIAL CABLE FAILURE CAUSES
IN DISTRIBUTION SYSTEM CASE STUDY IN MECHANICAL AND THERMAL EFFECTS.

THESIS ADVISOR : WEERAPUN RUNGSEEVIJITPRAPA, Dr.-Ing., 85pp.

This thesis presents a method of a failure assessment and analysis on Space Aerial Cable(SAC) due to mechanical effects, combining of wind collide to pole and weight of Space Aerial Cable. Since SAC have surface area and weight more than non-insulation wire, the cable have more mechanical stress while supplying to load. The combined thermal and mechanical effect to wire elongation differs between aluminium and XLPE main insulation including screen due to expansion coefficient and young's modulus. Tension of SAC can be calculated from span, sag, weight of conductor and wind collide to wire. Made dumbbells from insulation according to ICEA S – 66 – 524 use to analysis and inspect tension of wire in laboratory.

Department :Electrical Engineering..... Student's Signature :*P. Teeuppama*.....
Field of Study :Electrical Engineering..... Advisor's Signature :*W. Rungseevijitprapa*.....
Academic Year :2007.....

กิตติกรรมประกาศ

วิทยานิพนธ์ฉบับนี้สำเร็จลุล่วงไปได้ด้วยความกรุณาและความช่วยเหลือจากหลายท่าน โดยเฉพาะอย่างยิ่ง อาจารย์ ดร. วีระพันธ์ ริงส์วิจิตรประภา ซึ่งเป็นอาจารย์ที่ปรึกษา ที่ได้ให้คำแนะนำและข้อคิดเห็นต่างๆ ที่เป็นประโยชน์ต่อการวิจัยมาด้วยดีตลอด รวมทั้งได้กรุณาตรวจแก้ไขวิทยานิพนธ์จนสำเร็จเรียบร้อยเป็นอย่างดี

นอกจากนี้ ต้องขอขอบพระคุณคณะกรรมการการสอบวิทยานิพนธ์ ซึ่งประกอบด้วย อาจารย์ ดร. คมสัน เพ็ชรรักษ์ (ประธานกรรมการการสอบวิทยานิพนธ์) และคุณพิเชฐ ศรีสวัสดิ์ (กรรมการสอบวิทยานิพนธ์) ที่ได้กรุณาตรวจสอบแก้ไขและให้คำแนะนำในการทำวิทยานิพนธ์จนสำเร็จลุล่วงไปด้วยดี

ขอขอบคุณ บริษัท เฟลปส์ดอดจ์ ไทยแลนด์ จำกัด ที่ให้ความอนุเคราะห์ในการใช้ห้องทดสอบ และพนักงานบริษัทโดยเฉพาะ คุณวิมลพันธ์ เรืองศรี และคุณวินัย นิลโต ที่ได้ให้คำแนะนำในการทดสอบคุณสมบัติของฉนวนและเปลือกนอกของสายไฟฟ้าหุ้มฉนวนซึ่งในอากาศ

ขอขอบคุณพนักงานการไฟฟ้าส่วนภูมิภาคทุกท่านที่อยู่เบื้องหลังความสำเร็จของวิทยานิพนธ์ฉบับนี้

ท้ายนี้ ผู้วิจัยใคร่ขอกราบขอบพระคุณบิดา - มารดา ซึ่งให้การสนับสนุนในด้านการเงินและให้กำลังใจตลอดมา

สารบัญ

	หน้า
บทคัดย่อภาษาไทย.....	ง
บทคัดย่อภาษาอังกฤษ.....	จ
กิตติกรรมประกาศ.....	ฉ
สารบัญ.....	ช
สารบัญตาราง.....	ญ
สารบัญภาพ.....	ฎ
บทที่	
1 บทนำ.....	1
1.1 ความเป็นมาและความสำคัญของปัญหา.....	1
1.2 วัตถุประสงค์.....	3
1.3 แนวทางการวิจัย.....	3
1.4 ขอบเขตการดำเนินงาน.....	4
1.5 ประโยชน์ที่คาดว่าจะได้รับ.....	5
2 ทฤษฎีที่เกี่ยวข้อง.....	6
2.1 การหาระยะหย่อนและแรงดึงของสายไฟฟ้า.....	6
2.1.1 การหาระยะหย่อนและแรงดึงในสายเมื่อปักเสาไฟฟ้าระดับเดียวกัน	6
2.1.2 การหาระยะหย่อนและแรงดึงในสายเมื่อปักเสาไฟฟ้าต่างระดับ..	12
2.2 การหาระยะหย่อนและแรงดึงของสายขณะที่อุณหภูมิเปลี่ยนแปลง.....	14
2.3 แรงเนื่องจากลมที่กระทำกับสายไฟฟ้า.....	17
2.4 แรงลมที่กระทำกับสายไฟฟ้าหุ้มฉนวนซึ่งในอากาศ.....	18
2.4.1 แรงดันลมสำหรับผิวทรงกระบอก.....	18
2.4.2 แรงลมที่กระทำกับสายแนวแกนราบ.....	18
2.4.3 กรณีทางโค้ง.....	18
3 การทดสอบคุณสมบัติทางกลและความร้อน.....	20
3.1 การทดสอบคุณสมบัติทางกลของฉนวนและเปลือกนอกของสายไฟฟ้า หุ้มฉนวนซึ่งในอากาศตามมาตรฐาน ICEA S-66-524.....	20
3.1.1 การเตรียมชิ้นงานทดสอบ.....	20

3.1.2	การหาพื้นที่หน้าตัดของขึ้นทดสอบรูปดัมป์เบลล์.....	21
3.1.3	การเตรียมตัวอย่างก่อนการทดสอบ.....	21
3.1.4	วิธีการทดสอบ.....	22
3.1.4.1	การทดสอบก่อนเร่งอายุการใช้งาน.....	22
3.1.4.2	การทดสอบหลังเร่งอายุใช้งาน $121^{\circ}\text{C} \pm 1^{\circ}\text{C}$ เป็นเวลา 168 ชั่วโมง.....	23
3.1.5	การทดสอบความยืดตัวของฉนวนเมื่อได้รับความร้อน.....	24
3.1.5.1	การเตรียมขึ้นทดสอบ.....	24
3.1.5.2	วิธีการทดสอบ.....	24
3.2	การทดสอบ Heat Distortion สำหรับสายหุ้มฉนวน XLPE.....	25
3.2.1	อุปกรณ์ทดสอบ.....	25
3.2.2	การเตรียมขึ้นทดสอบ.....	25
3.2.3	วิธีการทดสอบ.....	25
3.3	การทดสอบแรงดึงของฉนวนและเปลือกนอกสายไฟฟ้าหุ้มฉนวนซึ่งใน อากาศที่น้ำหนักถ่วงต่างๆภายใต้ UV(แสงแดดธรรมชาติ).....	27
3.3.1	การเตรียมขึ้นทดสอบ.....	27
3.3.2	วิธีการทดสอบ.....	27
4	สถิติการบกพร่องของสายไฟฟ้าหุ้มฉนวนซึ่งในอากาศ การประเมินความเค้นและ กระแสใช้งานของสายไฟฟ้าหุ้มฉนวนซึ่งในอากาศ.....	28
4.1	สถิติการบกพร่องของสายไฟฟ้าหุ้มฉนวนซึ่งในอากาศ.....	28
4.2	การคำนวณอัตราการรับแรงดึงต่ำสุดของฉนวนและเปลือกของสายไฟฟ้า หุ้มฉนวนซึ่งในอากาศ.....	34
4.2.1	การคำนวณความเค้นที่ใช้งานและระยะหย่อนยานของสายไฟฟ้า หุ้มฉนวนซึ่งในอากาศ.....	35
4.2.2	การคำนวณแรงดึงของสาย.....	37
4.2.2.1	กรณีคิดแรงลม.....	37
4.2.2.2	กรณีไม่คิดแรงลม.....	38
4.3	การประเมินกระแสใช้งานของสายไฟฟ้าหุ้มฉนวนซึ่งในอากาศ(SAC)...	39

บทที่	หน้า
4.3.1 พลังงานสูญเปล่าไดอิเล็กตริกของสาย SAC.....	39
4.3.2 การคำนวณกระแสใช้งานของสาย SAC.....	43
5 ผลการทดสอบ.....	45
5.1 การทดสอบแรงดึงของฉนวนและเปลือกโดยการเปลี่ยนแปลงความหนา	45
5.2 ผลการทดสอบความต้านทานแรงดึงและความยืด.....	47
5.3 ผลการทดสอบความยืดสูงสุดเมื่ออบขึ้นทดสอบเป็นเวลา 15 นาที ที่อุณหภูมิ $150^{\circ}\text{C} \pm 2^{\circ}\text{C}$ และความยืดสูงสุดหลังจากปล่อยให้เย็นลง	52
5.4 ความต้านทานแรงดึงต่อความยืด.....	54
5.5 Heat Distortion ของฉนวนและเปลือก.....	56
5.6 การทดสอบแรงดึงของฉนวนและเปลือกที่น้ำหนักถ่วงต่างๆ	58
6 สรุปและข้อเสนอแนะ.....	66
6.1 สรุป.....	66
6.2 ข้อเสนอแนะ.....	68
รายการอ้างอิง.....	70
ภาคผนวก ก.	71
ภาคผนวก ข.	75
ภาคผนวก ค.	83
ประวัติผู้เขียนวิทยานิพนธ์.....	85

สารบัญตาราง

ตารางที่	หน้า
3.1	26
4.1	36
4.2	36
4.3	37
4.4	38
4.5	42
4.6	43
4.7	44
5.1	47
5.2	48
5.3	49
5.4	50
5.5	52
5.6	53
5.7	56
5.8	56
5.9	57
5.10	57

ตารางที่	หน้า
6.1 แรงดึงของสาย 185 ตารางมิลลิเมตร กรณีคิดแรงลม 40 กิโลกรัม/ตารางเมตร.....	68
6.2 แรงดึงของสาย 185 ตารางมิลลิเมตร กรณีไม่คิดแรงลม.....	68
6.3 ระยะหย่อนยานต่ำสุดที่แนะนำ.....	69
ก.1 แสดงการเปรียบเทียบขนาดสายโดยประมาณ.....	71
ก.2 แสดงคุณสมบัติทางฟิสิกส์ของวัสดุตัวนำที่เกี่ยวข้องกับสมรรถนะทางกล.....	72
ก.3 ขนาดของดัมเบลล์ตามมาตรฐาน Dies ^A (ระบบเมตริก).....	72
ก.4 ขนาดของดัมเบลล์ตามมาตรฐาน Dies ^A (ระบบ U.S. Customary).....	73
ก.5 คุณลักษณะที่กำหนดของสายไฟฟ้าหุ้มฉนวนซึ่งในอากาศ (SAC) ตาม มาตรฐาน ICEA S-66-524.....	74
ข.1 ข้อมูลจากสเปค กฟภ.....	75
ข.2 ค่าคาปาซิเตอร์ของสาย(C)และค่าพลังงานสูญเสียไดอิเล็กตริกของสาย SAC(W_d).....	77
ข.3 ค่าความต้านทานเชิงความร้อนระหว่างตัวนำและเปลือกนอก (T_1).....	77
ข.4 ค่าความต้านทานเชิงความร้อนของเปลือกภายนอก (T_3).....	78
ข.5 แสดงค่า K_A	79
ข.6 แสดงค่า $\Delta\theta_d$	79
ข.7 แสดงค่า $\Delta\theta_{ds}$	79
ข.8 แสดงค่า $\Delta\theta + \Delta\theta_d + \Delta\theta_{ds}$	80
ข.9 แสดงค่า $(\Delta\theta_s)^{1/4}$	80
ข.10 แสดงค่า T_4'	80
ข.11 แสดงค่า $R_0, R', X_s^2, Y_s, X_p^2, d_c, Y_p$ และ R	82
ข.12 พิกัดกระแสของสายไฟฟ้าหุ้มฉนวนซึ่งในอากาศ (SAC) ที่ใช้กับแรงดัน 33 กิโลโวลต์.....	82

สารบัญภาพ

๗

ภาพประกอบที่	หน้า
1.1 รูปที่ 1.1 Aluminium Space Aerial Power Cables with Cross – Linked Polyethylene Insulated and Sheathed For Rated Voltage 25 kV and 35 kV.....	2
2.1 แสดงระยะหย่อนและแรงดึงในสาย.....	6
2.2 แสดงระยะหย่อนและแรงดึงในสายต่างระดับ.....	13
2.3 แสดงการรวมแรงกระทบสายทางเวกเตอร์.....	17
2.4 มุมหักเหของสาย.....	19
3.1 รูปดัมเบลล์ ตาม ASTM D-412 Die D.....	21
4.1 แผนภูมิแสดงสถิติการกระจายจำนวนครั้งตั้งแต่ 1 มกราคม 2546 ถึง 31 ธันวาคม 2548.....	28
4.2 แผนภูมิแสดงสถิติการกระจายจำนวนครั้งต่อลักษณะพื้นที่.....	29
4.3 แผนภูมิแสดงสถิติจำนวนครั้งกับตำแหน่งที่เกิดการขาดของสายไฟฟ้าหุ้มฉนวนซึ่งในอากาศ.....	29
4.4 แผนภูมิแสดงสถิติการกระจายจำนวนครั้งตั้งแต่ 1 มกราคม 2546 ถึง 31 ธันวาคม 2546.....	30
4.5 แผนภูมิแสดงสถิติความเร็วลมสูงสุดใน จ.สงขลา ปี 2546.....	30
4.6 แผนภูมิแสดงสถิติการกระจายจำนวนครั้งตั้งแต่ 1 มกราคม 2547 ถึง 31 ธันวาคม 2547.....	31
4.7 แผนภูมิแสดงสถิติความเร็วลมสูงสุดใน จ.สงขลา ปี 2547.....	31
4.8 แผนภูมิแสดงสถิติการกระจายจำนวนครั้งตั้งแต่ 1 มกราคม 2548 ถึง 31 ธันวาคม 2548.....	32
4.9 แผนภูมิแสดงสถิติความเร็วลมสูงสุดใน จ.สงขลา ปี 2548.....	32
4.10 แสดงสายไฟฟ้าหุ้มฉนวนซึ่งในอากาศขนาด 185 ตร.มม.ที่ใช้กับแรงดันไฟฟ้าที่กำหนด 33 กิโลโวลต์.....	34
4.11 กระแสไหลของวงจรมุมลของสายหุ้มฉนวน.....	39
4.12 เฟสเซอร์ไดอะแกรมของสายหุ้มฉนวน.....	39
4.13 แผนภูมิแสดงความสัมพันธ์ค่าความสูญเสียไดอิเล็กตริกกับอุณหภูมิใช้งาน.....	40

ภาพประกอบที่	ร หน้า
4.14 แสดงความสัมพันธ์ของค่า ϵ , กับอุณหภูมิของ Fill XLPE.....	41
5.1 แผนภูมิแสดงความต้านทานแรงดึงต่อพื้นที่หน้าตัดเฉลี่ยของฉนวน xlpe สายใหม่	45
5.2 แผนภูมิแสดงความต้านทานแรงดึงต่อพื้นที่หน้าตัดเฉลี่ยของเปลือก xlpe สายใหม่	46
5.3 แผนภูมิแสดงความต้านทานแรงดึงของสายเก่าและสายใหม่.....	51
5.4 แผนภูมิแสดงความต้านทานแรงดึงต่อความยืดก่อนแรงอายุ.....	54
5.5 แผนภูมิความต้านทานแรงดึงต่อความยืดหลังแรงอายุใช้งานที่อุณหภูมิ $121^{\circ}\text{C} \pm 1^{\circ}\text{C}$ เป็นเวลา 168 ชั่วโมง.....	55
5.6 ความยาวที่เพิ่มขึ้นเป็นร้อยละของฉนวน xlpe สายเก่าที่เปลี่ยนแปลงตามเวลา	58
5.7 ความยาวที่เพิ่มขึ้นเป็นร้อยละของเปลือก xlpe สายเก่าที่เปลี่ยนแปลงตามเวลา	58
5.8 แผนภูมิแสดงความหนาที่ลดลงเป็นร้อยละของฉนวน xlpe สายเก่าที่เปลี่ยนแปลงตามเวลา.....	59
5.9 แผนภูมิแสดงความหนาที่ลดลงเป็นร้อยละของเปลือก xlpe สายเก่าที่เปลี่ยนแปลงตามเวลา.....	59
5.10 แผนภูมิแสดงความต้านทานแรงดึงต่อพื้นที่หน้าตัดเฉลี่ยของฉนวน xlpe สายที่ผ่านการใช้งาน.....	60
5.11 แผนภูมิแสดงความต้านทานแรงดึงต่อพื้นที่หน้าตัดเฉลี่ยของเปลือก xlpe สายที่ผ่านการใช้งาน.....	61
5.12 ความยาวที่เพิ่มขึ้นเป็นร้อยละของฉนวน xlpe สายที่ยังไม่ใช้งานเปลี่ยนแปลงตามเวลา.....	62
5.13 ความยาวที่เพิ่มขึ้นเป็นร้อยละของเปลือก xlpe สายที่ยังไม่ใช้งานเปลี่ยนแปลงตามเวลา.....	62
5.14 แผนภูมิแสดงความหนาที่ลดลงเป็นร้อยละของฉนวน xlpe สายที่ยังไม่ใช้งานเปลี่ยนแปลงตามเวลา.....	63
5.15 แผนภูมิแสดงความหนาที่ลดลงเป็นร้อยละของเปลือก xlpe สายที่ยังไม่ใช้งานเปลี่ยนแปลงตามเวลา.....	63
5.16 แผนภูมิแสดงความต้านทานแรงดึงต่อพื้นที่หน้าตัดเฉลี่ยของฉนวน xlpe สายที่ยังไม่ใช้งาน.....	64
5.17 แผนภูมิแสดงความต้านทานแรงดึงต่อพื้นที่หน้าตัดเฉลี่ยของเปลือก xlpe สายที่ยังไม่ใช้งาน.....	64

	๗
ภาพประกอบที่	หน้า
ค.1 การเตรียมชิ้นตัวอย่างเป็นแผ่นสี่เหลี่ยมผืนผ้าขนาด 25.4 x 14.3 มิลลิเมตรหนา 1.27 มิลลิเมตร.....	83
ค.2 ตู้อบที่มี Dial micrometer.....	83
ค.3 Pressure Foot ที่ใช้วัดความหนาจนวน.....	84
ค.4 ชิ้นงานสำเร็จรูปที่ถูกกดทับจากตุ้มน้ำหนัก.....	84